

**Nombre del Producto: Anticuerpo policlonal de conejo Sox-9****Nº de Catálogo: APRab18144**

Solo para uso en investigación.

**Resumen**

<b>Descripción</b>	Anticuerpo policlonal de conejo
<b>Huésped</b>	Conejo
<b>Aplicación</b>	WB,IHC,ICC/IF,ELISA
<b>Reactividad</b>	Humano, Ratón, Rata
<b>Conjugación</b>	No conjugado
<b>Modificación</b>	Sin modificar
<b>Isotipo</b>	IgG
<b>Clonalidad</b>	Policlonal
<b>Formato</b>	Líquido
<b>Concentración</b>	1 mg/ml
<b>Almacenamiento</b>	Hacer alícuotas y almacenar a -20°C (válido por 12 meses). Evitar ciclos de congelación/descongelación.
<b>Envío</b>	Bolsas de hielo
<b>Tampon</b>	Líquido en PBS que contiene 50% de glicerol, 0,5% de proteína protectora y 0,02% de conservante de nuevo tipo N.
<b>Purificación</b>	Purificación por afinidad

**Aplicación**

<b>Relación de Dilución</b>	WB 1:500-1:2000,IHC 1:100-1:300,ICC/IF 1:200-1:1000,ELISA 1:5000-1:10000
<b>Peso Molecular</b>	65kDa

**Información del Antígeno**

<b>Nombre del Gen</b>	SOX9
<b>Nombres Alternativos</b>	SOX9; Transcription factor SOX-9
<b>ID del Gen</b>	6662.0
<b>ID SwissProt</b>	P48436
<b>Inmunógeno</b>	El antisuero se produjo contra el péptido sintetizado derivado de SOX9 humano. Rango de AA: 147-196.

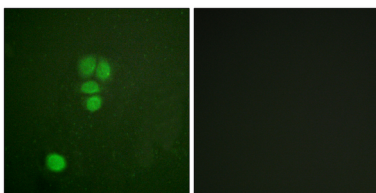
**Antecedentes**

SRY-box 9(SOX9) Homo sapiens La proteína codificada por este gen reconoce la secuencia CCTTGAG junto con otros miembros de las proteínas de unión al ADN de la clase HMG-box. Actúa durante la diferenciación de los condrocitos y, junto con el factor esteroideogénico 1, regula la transcripción del gen de la hormona antimülleriana (AMH). Las deficiencias conducen al síndrome de malformación esquelética displasia campomélica, frecuentemente con inversión sexual. [proporcionado por RefSeq, jul. 2008], enfermedad: Los defectos en SOX9 son la causa de la displasia campomélica (CMD1) [MIM:114290]. La CMD1 es una osteocondrodysplasia congénita rara, a menudo letal, de herencia dominante, asociada con la inversión sexual autosómica de hombre a mujer en dos tercios de los varones cariotípicos afectados. Enfermedad del recién nacido caracterizada por arqueamiento y angulación congénitos de los huesos largos, escápulas inusualmente pequeñas, deformidad de la pelvis y la columna vertebral, y ausencia de un par de costillas. Son comunes los defectos craneofaciales como el paladar hendido, la micrognatia, la cara plana y el hipertelorismo. Con frecuencia se evidencian diversos defectos del oído, que afectan la cóclea, el martillo y el yunque, el estribo y el tímpano. La mayoría de los pacientes fallecen poco después del nacimiento debido a dificultad respiratoria, atribuida a la hipoplasia del cartílago traqueobronquial y a la pequeña caja torácica. Función: Desempeña un papel importante en el desarrollo esquelético normal. Puede regular la expresión de otros genes implicados en la condrogénesis actuando como factor de transcripción para estos genes. Similitud: Contiene un dominio de unión al ADN de la caja HMG.

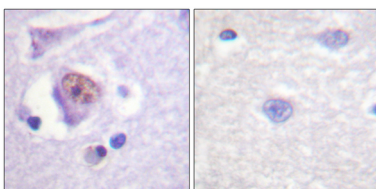
## Área de Investigación

Epigenética y señalización nuclear; Transcripción; Familias de dominios; Caja HMG; Neurociencia; Proceso neurológico; Neurogénesis; Familias del desarrollo; Células madre; Marcadores de linaje; Ectodermo; Células madre neurales; Intracelular; Células madre mesenquimales; Condrogénesis; Células madre de la cresta neural; Biología del desarrollo; Reproducción; Determinación sexual; Desarrollo placentario; Especificación de linaje; Ectodermo; Organogénesis; Desarrollo esquelético; Hueso

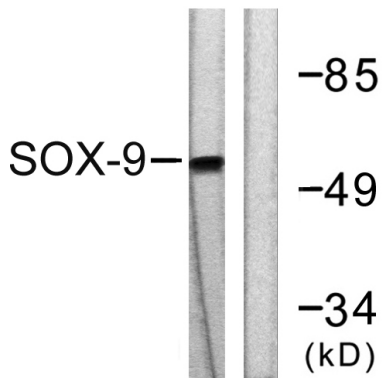
## Datos de Imagen



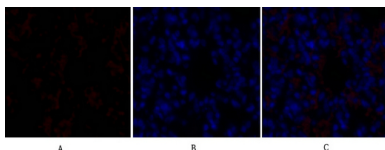
Análisis de inmunofluorescencia de células A549 con el anticuerpo SOX9. La imagen de la derecha muestra el péptido sintetizado.



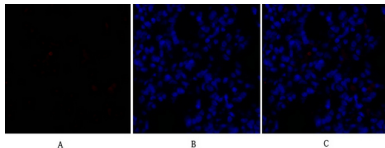
Análisis inmunohistoquímico de tejido cerebral humano incluido en parafina, utilizando el anticuerpo SOX9. La imagen de la derecha muestra el péptido sintetizado.



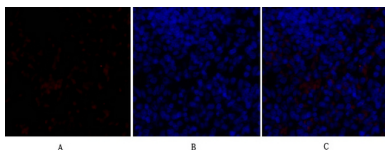
Análisis de Western blot de lisados de 293 células tratadas con PBS 60', utilizando el anticuerpo SOX9. El carril derecho está bloqueado con el péptido sintetizado.



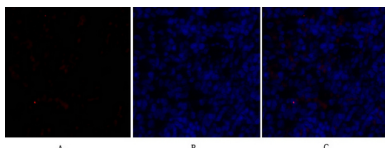
Análisis de inmunofluorescencia de tejido pulmonar de rata. 1. El anticuerpo policlonal Sox-9 (rojo) se diluyó a 1:200 (4 °C, durante la noche). 2. El anticuerpo secundario marcado con Cy3 se diluyó a 1:300 (temperatura ambiente, 50 min). 3. Imagen B: DAPI (azul) 10 min. Imagen A: Objetivo. Imagen B: DAPI. Imagen C: Combinación de A+B.



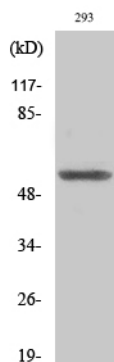
Análisis de inmunofluorescencia de tejido pulmonar de rata. 1. El anticuerpo policlonal Sox-9 (rojo) se diluyó a 1:200 (4 °C, durante la noche). 2. El anticuerpo secundario marcado con Cy3 se diluyó a 1:300 (temperatura ambiente, 50 min). 3. Imagen B: DAPI (azul) 10 min. Imagen A: Objetivo. Imagen B: DAPI. Imagen C: Combinación de A+B.



Análisis de inmunofluorescencia de tejido de bazo de rata. 1. El anticuerpo policlonal Sox-9 (rojo) se diluyó a 1:200 (4 °C, durante la noche). 2. El anticuerpo secundario marcado con Cy3 se diluyó a 1:300 (temperatura ambiente, 50 min). 3. Imagen B: DAPI (azul) 10 min. Imagen A: Objetivo. Imagen B: DAPI. Imagen C: Fusión de A+B.



Análisis de inmunofluorescencia de tejido de bazo de rata. 1. El anticuerpo policlonal Sox-9 (rojo) se diluyó a 1:200 (4 °C, durante la noche). 2. El anticuerpo secundario marcado con Cy3 se diluyó a 1:300 (temperatura ambiente, 50 min). 3. Imagen B: DAPI (azul) 10 min. Imagen A: Objetivo. Imagen B: DAPI. Imagen C: Fusión de A+B.



Análisis Western Blot de varias células utilizando el anticuerpo policlonal Sox-9 diluido a 1:2000.